

محاسبه تعادلات فازی بخار-مایع با استفاده از روش جایگزینی متوالی شتاب یافته

علی بهرامی
دانشجوی دوره دکتری

حمید مدرس
استادیار

وحید تقی خانی
دانشجوی دوره دکتری

دانشکده مهندسی شیمی، دانشگاه صنعتی امیرکبیر

چکیده

در این مقاله روشی جهت انجام محاسبات تعادل دو و سه فازی همدما - هم فشار برای سیستم های مایع - بخار و مایع - مایع - بخار مورد بررسی قرار می گیرد. هدف به دست آوردن تعداد و ترکیب فازهای نهابی حاصل از محلوظی است که ترکیب کل، دما و فشار آن معلوم می باشد. محاسبات تعادلی شامل دو بخش آزمون پایداری و محاسبات تبخیر ناگهانی می باشد. در اینجا روش Michelsen برای آزمون پایداری و روش ACSS (Accelerated Successive Substitution Method) که در آن تعادلات غیرخطی حاصل از بیلان جرم و تعادل ترمودینامیکی، با در نظر گرفتن K-value ها به عنوان متغیر مستقل حل می شوند، برای محاسبات تبخیر ناگهانی، مورد استفاده قرار می گیرد. برای محاسبه فوگاسیته فازهای گاز و مایع از معادله حالت Mixing - Rule Peng-Robinson و فوگاسیته فازهای آزمایشگاهی مقایسه و مشاهده گردید روش پیشنهادی می تواند به نحو مطلوبی ویژگی های فازی این سیستم ها را پیش گویی نماید.

Vapor-Liquid Phase Equilibria Calculations Using Accelerated Successive Substitution Method

H. Modarress
Assistant Professor

A. Bahrami
Ph.D. Student

V. Taghikhani
Ph.D. Student

Chemical Eng. Dept. Amirkabir Univ. of Tech.

Abstract

In this paper a method for calculating two and three phases equilibrium in isothermal-isobaric systems of Liquid-Vapor and Liquid-Liquid-Vapor have been considered. The aim of calculations was to obtain the number of existing phases and their final flash compositions resulted for a mixture in which the temperature, pressure and total bulk composition are known.

The equilibrium calculation includes two parts: phase stability test and flash vaporization calculations. The Michelsen method was used for phase stability test and then Accelerated Successive Substitution Method (ACSS) was applied

in which the nonlinear equations resulted from mass balance and phase equilibrium were solved by considering k -values as independent variables. To calculate fugacities of gas and liquid phases Peng Robinson equation of state and its relevant mixing rule was used. Finally, phase equilibrium calculations for a number of systems containing non-polar components were compared with the experimental data. The results indicated that the proposed method has the ability of predicting phase equilibrium characteristics for these systems.

مقدمه

بررسی سیستم‌های در حال تعادل و محاسبه ترکیب فازهایی که با یکدیگر در حال تعادل هستند، یکی از مسائل بسیار مهم و ضروری در صنایع شیمیایی می‌باشد. از جمله فرآیندهایی که محاسبات تعادل فازی در آنها نقش کلیدی دارد، می‌توان به واکنش‌هایی که محصولات آنها تشکیل فازهای غیرقابل انحلال می‌دهد، اشاره کرد. در هر یک از بررسی‌های فوق الذکر وجود اطلاعات مربوط به نحوه تعادل فازها جهت طراحی و تجهیز فرآیندها امری ضروری است.

روش‌های مختلفی جهت انجام محاسبات تعادل فازی توسط افراد مختلف به کار گرفته شده است که از آن جمله می‌توان به [۱] Gautam and Seider، [۲] Heidmann et al.، [۳] Soares et al.، [۴] Mehra et al.، [۵] Michelsen، [۶] Fourinier and Boston، [۷] Heidmann et al.، [۸] روشهایی برای حل دستگاه معادلات غیرخطی حاصل از موازنۀ جرم و معادلات تعادلی براساس روشهای تکرار پیشنهاد کردند. روشهای حل دستگاه به حدس اولیه به حدی حساس می‌باشند که عدم دقیق در حدس اولیه باعث واگرایی نتایج حاصل و عدم تطابق آنها با مقادیر تجربی خواهد گردید. Mehra et al. [۶] روشنی موسوم به Accelerated Successive Substitution Method نمود که بر این نقطه ضعف غلبه می‌نماید.

روش بررسی شده در این مقاله استفاده از ترکیب معادلات مربوط به موازنۀ جرم و معادلات تعادلی حاکم بر سیستم می‌باشد. قبل از انجام محاسبات تعادل، بحث آزمون پایداری ترمودینامیکی فازها امری ضروری است. Gautam and Seider [۱] Heidmann et al. [۲]

۱- محاسبات

الگوریتم استفاده شده جهت انجام محاسبات تعادل، شامل دو بخش تحلیل پایداری و محاسبات تبخیر ناگهانی می‌باشد (Michelsen and Li [۵]، Trangenstein [۶]، Nghiem and Li [۵] Michelsen [۵]، Trangenstein [۶]). در ابتدا ترکیب کلی مخلوط از نظر پایداری مورد بررسی قرار می‌گیرد. اگر تشخیص داده شود که مخلوط ناپایدار است، یک فاز دیگر به سیستم افزوده می‌شود و بخش دوم محاسبات جهت تعیین ترکیب این سیستم دو فازی انجام می‌پذیرد. اما اگر تحلیل پایداری بیان نماید که مخلوط پایدار است، نیازی به انجام محاسبات بخش دوم نخواهد بود. پس از آن که ترکیب دو فاز در تعادل محاسبه گردید،

است به دست آید. سپس از روش Newton - Raphson که سریعتر به پاسخ نهایی می‌رسد، استفاده می‌شود. روش اخیر در صورتی که حدس اولیه مناسبی انتخاب نشود و اگرا خواهد بود و علت استفاده از روش اول در ابتدای شروع محاسبات، همین نکته می‌باشد. رابطه استفاده شده در روش successive substitution عبارت است از:

$$Y_i^{k+1} = \exp [h_i - \ln \varphi_i(\bar{y})] \quad i = 1, \dots, n_c \quad (5)$$

و برای روش Newton-Raphson

$$\bar{Y}^{k+1} = \bar{Y}^k - \left(\bar{J}^{-1} \right)^k \bar{r} \quad i = 1, \dots, n_c \quad (6)$$

\bar{J} ماتریس ژاکوبین است و به شکل زیر تعریف می‌شود:

$$J_{is} = \left(\frac{\partial r_i}{\partial Y_s} \right)_{Y_m (m \neq s)} = \frac{1}{\sum_{r=1}^{n_c} Y_r} + \frac{\partial}{\partial Y_s} [\ln (y_i \varphi_i(\bar{y}))]_{Y_m (m \neq s)} \quad (7)$$

r_i عبارت است از باقیمانده (residual) مربوط به معادله i از دستگاه (2) و به شکل زیر تعریف می‌شود:

$$r_i = \ln Y_i + \ln \varphi_i(\bar{y}) - h_i \quad i = 1, \dots, n_c \quad (8)$$

روش محاسبات یاد شده را می‌توان به مراحل زیر خلاصه نمود:

- ۱ - از معادله (4) محاسبه می‌شود.
- ۲ - مقادیری برای متغیر Y_i حدس زده می‌شود.
- ۳ - $\varphi_i(\bar{y})$ به کمک معادله حالت انتخاب شده محاسبه می‌شود. (طبق رابطه (3) تعریف شده است).
- ۴ - در صورت برقراری شرط‌های:

$$\max |r_i| \leq \epsilon_{con} \quad i = 1, \dots, n_c \quad (9)$$

معادله (2) حل شده است.

- ۵ - اگر شرط‌های (9) برقرار نشده باشند، در صورت برقراری شرط‌های زیر، در ادامه محاسبات از روش Newton-Raphson استفاده خواهد شد:

جهت بررسی تشکیل فاز سوم، پایداری یکی از این دو فاز مورد آزمون قرار می‌گیرد. اگر تحلیل پایداری نشان دهد که این فاز پایدار است، مخلوط تنها دو فاز دارد. اما اگر تشخیص به ناپایداری داده شود، یک فاز سوم نیز به سیستم افزوده می‌شود و محاسبات جهت تعیین ترکیب تعادلی سه فاز ادامه می‌یابد.

۱-۱- تحلیل پایداری فاز

تحلیل پایداری روی مخلوطی با ترکیب \bar{z} عبارت است از جستجو به دنبال فاز فرضی که وقتی با آن مخلوط ترکیب شود، انرژی آزاد گیبس مخلوط را کاهش دهد. شکل ریاضی شرط یاد شده عبارت است از:

$$\Delta G = \sum_{i=1}^{n_c} y_i [\mu_i(\bar{y}) - \mu_i(\bar{z})] < 0 \quad (1)$$

نمایند، مخلوط ناپایدار است.

نمایند شیمیایی سازنده، و y کسر مولی سازنده از فاز فرضی است. اگر هیچ مجموعه‌ای از y ‌ها پیدا نشود که شرط (1) برای آن برقرار باشد، مخلوط مورد آزمون پایدار است. به عکس اگر یک مجموعه از y یافت شود که این شرط برای آن صدق

به منظور تعیین نقاط ایستا (stationary)، مجموعه معادلات غیرخطی زیر در فشار ثابت حل می‌شود.

$$\ln Y_i + \ln \varphi_i(\bar{y}) - h_i = 0 \quad i = 1, \dots, n_c \quad (2)$$

کسر مولی \bar{y} با \bar{Y} دارای رابطه زیر است:

$$y_i = \frac{Y_i}{\sum_{s=1}^{n_c} Y_s} \quad i = 1, \dots, n_c \quad (3)$$

$$h_i = \ln z_i + \ln \varphi_i(\bar{z}) \quad i = 1, \dots, n_c \quad (4)$$

وقتی جوابی برای معادله (2) یافت شود، پایداری فاز با بررسی مجموع متغیرهای \bar{Y} تعیین می‌شود. اگر این مجموع از یک کوچکتر و یا با آن مساوی باشد، فاز پایدار و در غیر این صورت ناپایدار است. در ابتدا از حل معادله (2) شامل دو مرحله است. در ابتدا از روش successive substitution iteration استفاده می‌شود تا یک تخمین اولیه که به حد کافی به پاسخ نهایی نزدیک

ترکیب باشد یافت نشود، فاز مورد آزمون پایدار است: علاوه بر آزمون همگرایی پاسخ با اهمیت (nontrivial)، هر گاه یک \bar{Y} یافت شود که شرط $0 < \Delta G < \Delta H$ برای آن برقرار باشد، رابطه (۱۲) آزموده می‌شود. در این صورت اگر شرط (۱۲) برقرار باشد می‌توان محاسبات را خاتمه داد و نتیجه گرفت که فاز مورد نظر نایپایدار است.

برای آزمون پایداری یک مخلوط یک فازی، از دو حدس اولیه می‌توان استفاده نمود. این دو حدس اولیه عبارتند از:

$$Y_i = z_i \cdot K_i \quad i = 1, \dots, n_c \quad (13)$$

$$Y_i = \frac{Z_i}{K_i} \quad i = 1, \dots, n_c \quad (14)$$

k-value می‌شوند (Wilson [١٠]).

$$K_i = \frac{P_{ci}}{P} \exp \left[5.37 (1 + \omega_i) \left(1 - \frac{T_{ci}}{T} \right) \right] \quad (15)$$

آزمون پایداری یک مخلوط دو فازی مانند آزمون پایداری مخلوط یک فازی است. تنها تفاوت در این است که ترکیب یکی از دو فاز در معادله (1) استفاده می شود. به عنوان حدس اولیه از چهار مجموعه زیر استفاده می شود:

$$Y_i = \frac{1}{2} (x_{i2} + x_{i3}) \quad i = 1, \dots, n_c$$

$$Y_i = 0.999 \quad \text{و} \quad Y_i = \frac{0.001}{n_c - 1} \quad i = 2, \dots, n_c \quad \text{برای}$$

$$Y_i = \exp h_i \quad i = 1, \dots, n_c$$

برای بررسی پاسخ‌های بی‌اهمیت باز هم باید از معادله (۱۱) استفاده نمود. اما این بار باید شرط را برابر ترکیب هر دو فاز آزمود.

۱-۱- محاسبات تخته ناگهانی (Flash)

پس از آنکه پایداری یک مخلوط مشخص کردید،
میزان و ترکیب هر فاز باید محاسبه گردد. به این منظور،
دو روش متفاوت را می توان به کار گرفت.

۱- فرمولاسیون تبخیر ناگهانی با استفاده از روش
حابک: ا، مته ا، شتاب بافته- (accelerated succes-

$$\max |r_i| \leq \epsilon_{swt} \quad i = 1, \dots, n_c \quad \text{برای } (14)$$

۶- در صورتی که شرط‌های (۱۰) برقرار نباشد، مقادیر جدیدی از Z_i با استفاده از (۵) محاسبه می‌شوند و محاسبات از مرحله ۳ آدامه می‌یابد. اگر شرط (۱۰) برقرار نباشد، محاسبات از مرحله ۷ آدامه خواهد بارافت.

۷- مشتق‌های جزیی لازم جهت تعیین عضوهای ماتریس ژاکوبین = محاسبه می‌شود.

۸- مقدار جدیدی از متغیر Y_i با استفاده از (۶) محاسبه می شود.

۹- مقادیر τ با استفاده از (۸) به دست آمده و همگرا شوند: $\tau = \frac{1}{2} \cdot \tau_{\text{کمک شده}} + \frac{1}{2} \cdot \tau_{\text{شده}}$

۱۰- اگر دستگاه (۲) همگرا نشده باشد، محاسبات از مدل ۷ ادامه می‌باشد.

بعد از آنکه دستگاه (۲) به جواب رسید، پاسخ باید تحلیل شود تا پایداری مخلوط تعیین گردد. اولین آزمون آن است که برابر با ترکیب موردنظر آزمایش، یعنی z_1 نشود (trivial solution). به این منظور باید همواره شرط زیر برقرار باشد:

$$\left[\sum_{i=1}^{n_c} (y_i - z_i)^2 \right]^{1/2} \geq \frac{\epsilon_{\text{triv}}}{n_c} \quad (11)$$

اگر این شرط برای یک مجموعه به دست آمده برقرار نباشد و یا اگر پس از تعداد تکرارهای مجان، همگرایی حاصل نشود، حدس دیگری برای آن زده می‌شود و کل محاسبات از ابتدا از سر گرفته می‌شود. اگر تمام محاسبات منجر به پاسخ بی اهمیت شود و یا هیچکدام از حدس‌های اولیه همگرا نشوند، فاز مورد آزمایش پایدار است.

اگر شرط (۱۱) برای یک مجموعه y که پاسخ دستگاه است برقرار باشد، شرط دیگری را باید برای تعیین پایداری آزمود. یک فاز در صورتی ناپایدار است که شرط زیر برقرار باشد:

$$\left(\sum_{i=1}^{n_c} Y_i \right) - 1 \geq \varepsilon_{\text{stab}} \quad (14)$$

در غیر این صورت فاز مورد نظر پایدار است. اگر یک پاسخ برای دستگاه (۲) یافت شود که با اهمیت (nontrivial) باشد اما شرط (۱۲) برقرار نباشد، حدس اولیه دیگری برای \bar{Y} زده می‌شود و محاسبات از ابتدا تکرار می‌گردد. اگر هیچ یاسخی که نشان دهنده ناپایداری

را نسبت مول های فاز ز به کل مول های مخلوط می باشد. برای فاز مرجع، را با استفاده از قید زیر محاسبه می شود:

$$L_1 = 1 - \sum_{i=2}^{n_p} L_i \quad (21)$$

بنابر این کسرهای مولی فاز مرجع از رابطه زیر به دست می آید:

$$x_{ij} = \frac{z_i}{1 + \sum_{t=2}^{n_p} L_t \left(\frac{1}{K_{it}} - 1 \right)} \quad i = 1, \dots, n_c \quad (22) \text{ برای } K_{it}$$

کسر مولی های فازهای دیگر با استفاده از معادله (17) محاسبه می گردد.

برای به دست آوردن را از معادله (20) از روش نیوتون استفاده می شود. در هر تکرار (iteration)، را با معادله زیر بهنگام می شود:

$$L_j^{k+1} = L_j^k - \left(J \right)^{-1} \bar{g} \quad (23)$$

اعضای ماتریس ژاکوبین عبارتند از:

$$j_{jk} = - \sum_{i=1}^{n_c} \frac{Z_i \left(\frac{1}{K_{ij}} - 1 \right) \left(\frac{1}{K_{ik}} - 1 \right)}{\left[1 + \sum_{t=2}^{n_p} L_t \left(\frac{1}{K_{it}} - 1 \right) \right]^2} \quad j \text{ و } k = 2, \dots, n_p \quad (24)$$

و \bar{g} برداری است که اعضای آن تابعی از g_i داده شده در معادله (20) هستند. همگرایی تکرار (iteration) با برقراری هر یک از شرط های زیر پذیرفته می شود:

$$\max |g_i| \leq \varepsilon_{con} \quad j = 2, \dots, n_p \quad (25) \text{ برای } g_i$$

$$\max |L_j^{k+1} - L_j^k| \leq \varepsilon_{con} \quad j = 2, \dots, n_p \quad (26) \text{ برای } L_j$$

به طور خلاصه می توان روند محاسبات روش ACSS را به شرح زیر ارائه نمود:

- ۱ - تخمین K-value ها.
- ۲ - محاسبه توزیع فازها با استفاده از معادلات (20) و (21).
- ۳ - محاسبه ترکیب فازها با استفاده از معادلات (22) و (17).

ACSS یا به اختصار substitution method) ۲ - تعیین ترکیب فاز با استفاده از مینیمم کردن انرژی آزاد گیبس به روش گرادیان های کاهش یافته (reduced gradients)

در اینجا روش اول مورد بررسی و استفاده قرار می گیرد.

روش ACSS

معادله اصلی روش ACSS که توسط [۶] ارائه گردیده است، با فرض فاز ۱ به عنوان فاز مرجع عبارت است از:

$$K_{ij}^{k+1} = K_{ij}^k \exp \left(-\lambda^{k+1} \frac{f_{il}}{f_{ij}} \right) \quad (16)$$

λ^{k+1} ضریب شتاب (acceleration) است. مقادیر K -value به صورت نسبت کسر مولی سازنده ها در فاز مرجع به فاز دیگر تعریف می شوند:

$$K_{ij} = \frac{x_{il}}{x_{lj}} \quad (17)$$

ضریب شتاب از رابطه برگشتی زیر محاسبه می شود:

$$\lambda^{k+1} = \frac{\lambda^k \sum_{j=2}^{n_p} \sum_{i=1}^{n_c} (r_{ij}^k)^2}{\left| \sum_{j=2}^{n_p} \sum_{i=1}^{n_c} (r_{ij}^{k-1} r_{ij}^k) - \sum_{j=2}^{n_p} \sum_{i=1}^{n_c} (r_{ij}^k)^2 \right|} \quad (18)$$

که در این رابطه:

$$r_{ij} = \ln \left(\frac{f_{ij}}{f_{il}} \right) \quad j = 3, \dots, n_p \text{ و } i = 1, \dots, n_c \quad (19)$$

برای λ^1 , $K = 0$ برابر با یک در نظر گرفته می شود که مانند این است که یک مرحله جانشینی پیاپی (successive substitution) انجام پذیرفته باشد. ضریب شتاب در محدوده $3 \leq \lambda^{k+1} \leq 1$ نگاه داشته می شود. با داشتن ترکیب کلی و K -value های تخمین زده شده، میزان نسبی فازهای غیرمرجع با حل معادله تبخیر ناگهانی پیدا می شود:

$$g_j (L_2, \dots, L_{np}) = \sum_{i=1}^{n_c} \frac{Z_i \left(\frac{1}{K_{ij}} - 1 \right)}{1 + \sum_{t=2}^{n_p} L_t \left(\frac{1}{K_{it}} - 1 \right)} \quad (20)$$

۲-۲- سیستم نیتروژن / CO_2 / هیدروکربنها

[^{۱۷}Pedersen] مشخصات دو نمونه مخلوط نیتروژن / CO_2 / هیدروکربنها را که با نام های A و B مشخص نموده است ارائه داده و هر یک را در شرایط دما و فشار مشخص، تبخیر ناگهانی نموده است. مشخصات دو نمونه در جدول های ۳ و ۵ آمده است. همانطور که از جداول مشخص است جهت انجام محاسبات تبخیر ناگهانی از ترکیبات شبه جزء استفاده نشده است. در جدول های ۴ و ۶ نتایج محاسبات انجام شده در مقاله حاضر با داده های مرجع یاد شده مقایسه می گردد. اگرچه معادله حالت استفاده شده توسط آن مؤلفین، SRK است و در این مقاله از معادله حالت PR استفاده شده است، نتایج نزدیک به یکدیگر ولی با خطا نسبت به داده های آزمایشگاهی می باشند. در نتایج نهایی این مرجع، داده های ترکیبات C_7+ با یکدیگر جمع زده شده و ارائه شده اند. بنابراین برای مقایسه، نتایج این مقاله را برای ترکیبات C_7+ با یکدیگر جمع زده و در سطر آخر جدول (۴ و ۵) آورده ایم.

بحث و نتیجه گیری

همانطور که در قسمت مقدمه ذکر شد روش های متعددی توسط پژوهشگران مختلف جهت انجام محاسبات تبخیر ناگهانی مخلوط های چند جزئی و هیدروکربورها ابداع و ارائه شده است. اما آنچه که باعث اختلاف روش های مذکور می گردد دقت در نتایج حاصل و کاهش در زمان انجام محاسبات می باشد. همانطور که بیان شد الگوریتم به کار رفته در این مقاله براساس استفاده از روش پایداری Michelsen و روش تبخیر ناگهانی ACSS می باشد. ویژگی مهم نتایج به دست آمده در این مقاله، دارا بودن دقت کافی و در برخی از موارد دقتی بیشتر از روش های ارائه شده توسط سایر پژوهشگران می باشد همچنین سرعت انجام محاسبات از دیگر خصوصیات روش به کار گرفته شده است. بدیهی است که استفاده از معادلات حالت مناسب همراه با روش های عددی کارآمد، نتایج دقیق تری را به همراه خواهد داشت. همچنین بکارگیری روش مناسب برای سیستم های قطبی از جمله کارهای است که در آینده بررسی خواهد شد.

۴- محاسبه فوگاسیته سازنده ها برای هر فاز با استفاده از معادله حالت.

۵- محاسبه ضریب شتاب از معادله (۱۸).

۶- بهنگام کردن K-value ها از معادله (۱۶).

۷- آزمون همگرایی: همگرایی هنگامی حاصل می شود که شرط زیر برقرار باشد:

$$\max |r_{ij}| \leq \epsilon_{\text{con}} \quad j = 2, \dots, n_p \quad i = 1, \dots, n_c \quad (27)$$

۸- تکرار از مرحله ۲ با K-value های جدید در صورت همگرا نشدن محاسبات.

نتایج

در این بخش روش ارائه شده برای چند سیستم مورد استفاده قرار می گیرد و نتایج با مقادیر تجربی و کار دیگر مؤلفان مقایسه می شود.

۴-۱- سیستم سه گانه $C_1/nC_4/nC_{10}$

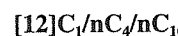
جدول ۱ نتایج روش ارائه شده را برای سیستم سه تایی $C_1/nC_4/nC_{10}$ در مقایسه با مقادیر تجربی و مقادیر پیش بینی شده [۱۲] نشان می دهد. در دما و فشارهایی که آزمایشات انجام شده اند، سیستم مذکور تشکیل دو فاز می دهد. شش ترکیب اولیه در مرجع یاد شده تبخیر ناگهانی شده و nC_{10} و nC_4 و C_1 های K-value و گزارش شده اند. ستون های دیگر به ترتیب مربوط به معادله Zudkevitch و دو معادله مختلف Schmidt-Wenzel Joffe-Redlich-Kwong (ZJRK) هم کنش (interaction coefficient) معادلات PR و SW در مراجع [۱۲] و [۱۳] و معادلات ZJRK در مراجع [۱۴] و [۱۵] ارائه شده اند. جدول ۲ ضرایب بر هم کنش PR را که از مرجع [۱۲] گرفته شده اند، برای معادله PR نشان می دهد.

از مقایسه نتایج دیده می شود که معادله PR اندکی بهتر از دیگر معادلات بررسی شده رفتار مخلوط $C_1/nC_4/nC_{10}$ را پیش بینی می نماید. همچنین دیده می شود که K-value های پیش بینی شده برای C_1 و nC_4 و nC_{10} دقیق بوده، ولی مقدار مربوط به nC_{10} از مقادیر تجربی انحراف قابل توجهی دارد.

جدول (۱) مقایسه نتایج مقالات مختلف مخالات سیستم سه تابی $C_1/nC_4/nC_{10}$

| مرجع ۱۵ | مرجع ۱۲ | از SW ۱۱ | از PR ۱۱ | مقاله حاضر | مقادیر تجربی | x_i | P (psia) | (°F) ۶۰۵ |
|-------------------------|-------------------------|-------------------------|-------------------------|-------------------------|---|--|----------|----------|
| ۳,۷۸۴ ۰,۸۱۳ ۰,۰۳۲ | ۳,۷۷۳ ۰,۸۳۷ ۰,۰۳۱ | ۳,۸۵۰ ۰,۵۸۷ ۰,۰۳۳ | ۳,۸۰۰ ۰,۶۱۵ ۰,۰۳۵ | ۳,۸۲۷ ۰,۵۹۹ ۰,۰۳۰ | $k_1=۳,۸۱۲$ $k_2=۰,۸۱۲$ $k_3=۰,۰۳۲$ | $x_1=-۰,۲۰۳$ $x_2=۰,۳۴۶$ $x_3=۰,۴۵۱$ | ۱۰۰۰ | ۲۸۰ |
| ۱,۸۲۱ ۰,۸۲۰ ۰,۱۱۱ | ۱,۸۶۷ ۰,۸۱۳ ۰,۰۹۹ | ۱,۸۷۳ ۰,۸۰۰ ۰,۱۰۹ | ۱,۸۴۴ ۰,۸۲۵ ۰,۱۱۹ | ۱,۸۶۷ ۰,۸۰۴ ۰,۱۱۶ | ۱,۸۶۱ ۰,۸۰۵ ۰,۱۲۲ | ۰,۴۰۲ ۰,۳۷۰ ۰,۲۲۸ | ۲۰۰۰ | ۲۸۰ |
| ۱,۴۸۸ ۰,۸۵۸ ۰,۱۸۲ | ۱,۴۷۵ ۰,۸۳۵ ۰,۱۵۶ | ۱,۴۷۹ ۰,۸۰۸ ۰,۱۶۵ | ۱,۴۶۰ ۰,۸۳۹ ۰,۱۸۰ | ۱,۴۶۹ ۰,۸۲۲ ۰,۱۷۸ | ۱,۴۵۹ ۰,۸۲۱ ۰,۱۹۳ | ۰,۵۷۵ ۰,۱۷۹ ۰,۲۶۶ | ۳۰۰۰ | ۲۸۰ |
| ۳,۰۸۶ ۰,۲۹۴ ۰,۰۰۹ | ۳,۱۷۳ ۰,۲۹۷ ۰,۰۰۸ | ۳,۱۵۵ ۰,۳۰۴ ۰,۰۰۶ | ۳,۱۳۰ ۰,۳۱۳ ۰,۰۰۹ | ۳,۱۴۳ ۰,۳۰۹ ۰,۰۰۹ | ۳,۱۷۴ ۰,۲۹۷ ۰,۰۱۳ | ۰,۲۵۳ ۰,۶۶۱ ۰,۰۸۶ | ۱۰۰۰ | ۱۶۰ |
| ۱,۸۱۷ ۰,۳۷۲ ۰,۰۳۳ | ۱,۸۶۲ ۰,۳۶۱ ۰,۰۲۸ | ۱,۸۶۷ ۰,۳۵۵ ۰,۰۲۸ | ۱,۸۵۰ ۰,۳۷۴ ۰,۰۲۴ | ۱,۸۵۷ ۰,۳۶۸ ۰,۰۲۴ | ۱,۸۵۴ ۰,۳۶۷ ۰,۰۲۹ | ۰,۴۰۹ ۰,۳۹۰ ۰,۱۵۱ | ۲۰۰۰ | ۱۶۰ |
| ۱,۲۱۷ ۰,۷۰۳ ۰,۳۰۵ | ۱,۲۵۴ ۰,۶۲۳ ۰,۲۱۸ | ۱,۲۶۳ ۰,۶۱۱ ۰,۲۱۱ | ۱,۲۴۷ ۰,۶۴۳ ۰,۰۴۱ | ۱,۲۱۰ ۰,۵۷۶ ۰,۱۷۷ | ۱,۲۱۳ ۰,۷۰۳ ۰,۲۳۰ | ۰,۶۸۳ ۰,۲۲۹ ۰,۱۰۸ | ۳۰۰۰ | ۱۶۰ |

جدول (۲) ضرایب برهم کنش بین سازنده های سیستم سه تابی



| C_1 | nC_4 | nC_{10} | |
|-----------|--------|-----------|-------|
| C_1 | 0.000 | 0.020 | 0.000 |
| nC_4 | 0.020 | 0.000 | 0.035 |
| nC_{10} | 0.000 | 0.035 | 0.000 |

جدول (۶) مقایسه نتایج تغییر ناگهانی نمونه B مرجع ۱۷ در

558.18 psi و 558.18 K

| سازنده | این مقاله (معادله PR) حالت | | مقادیر تجربی | | پیش‌بینی با معادله حالت با ضرایب اندرکشن صفر | |
|----------------------------------|-------------------------------|--------|--------------|--------|---|--------|
| | X_i | y_i | X_i | y_i | X_i | y_i |
| N ₂ | 0.0003 | 0.0065 | 0.0000 | 0.0059 | 0.0003 | 0.0063 |
| CO ₂ | 0.1056 | 0.0112 | 0.0035 | 0.0133 | 0.0055 | 0.0111 |
| C ₁ | 0.1116 | 0.8665 | 0.1099 | 0.8484 | 0.1061 | 0.8566 |
| C ₂ -C ₆ | 0.1099 | 1054 | 0.0911 | 0.1113 | 0.1047 | 0.1103 |
| C ₄ -C ₈ | 0.1371 | 0.0104 | 0.1210 | 0.0198 | 0.1391 | 0.0147 |
| C ₇ -C ₁₅ | 0.3961 | 0.0001 | | | | |
| C ₁₆ -C ₂₆ | 0.1569 | 0.0000 | | | | |
| C ₂₇ -C ₇₆ | 0.0825 | 0.0000 | | | | |
| C ₇₊ | 0.6355 | 0.0001 | 0.6745 | 0.0013 | 0.6480 | 0.0010 |

نامگذاری

f_{ij} فوگاسیته سازنده i در فاز j

g_j تعریف شده با معادله

ΔG تغییر در انرژی آزاد مخلوط برای افزودن فاز

فرضی

h_i تعریف شده با معادله

J̄ ماتریس ژاکوبین

K_i K-value سازنده i در سیستم دو فازی

K_{ij} K-value سازنده i در فاز j سیستم سه فازی

L_j نسبت مول های فاز j به کل مول های مخلوط

n_c تعداد سازنده های سیستم

n_p تعداد فازهای سیستم

P فشار سیستم

P_{ci} فشار بحرانی سازنده i

r_{ij} تقاضل لگاریتم فوگاسیته سازنده i در فاز j و

T logaritme فوگاسیته سازنده i در فاز مرجع

T دما

T_{ci} دما بحرانی سازنده i

x_{ij} کسر مولی سازنده i در فاز j

ȳ کسر مولی سازنده i در فاز فرضی که برای انجام

آزمون پایداری به ترکیب مورد آزمون افزوده می شود

Y متغیر کمکی در انجام آزمون پایداری

Z ترکیب کلی مخلوط اولیه

جدول (۳) مشخصات نمونه A مرجع ۱۷

| سازنده | دربندولی | T _c , K | P _c , atm | ω |
|----------------------------------|----------|--------------------|----------------------|-------|
| N ₂ | 0.0064 | 492.45 | 227.16 | 0.040 |
| CO ₂ | 0.0916 | 1070.16 | 547.56 | 0.225 |
| C ₁ | 0.6880 | 667.38 | 343.08 | 0.008 |
| C ₂ -C ₃ | 0.1354 | 664.44 | 604.26 | 0.123 |
| C ₄ -C ₆ | 0.0394 | 504.21 | 811.26 | 0.225 |
| C ₇ -C ₁₀ | 0.0230 | 464.52 | 1017.00 | 0.408 |
| C ₁₁ -C ₁₅ | 0.0094 | 368.97 | 1175.94 | 0.656 |
| C ₁₆ -C ₄₈ | 0.0068 | 217.56 | 1379.16 | 1.085 |

جدول (۴) مقایسه نتایج تغییر ناگهانی نمونه A مرجع ۱۷ در

926.10 psi و 516.96 K

| سازنده | این مقاله (معادله PR) حالت | | مقادیر تجربی | پیش‌بینی با معادله حالت با ضرایب اندرکشن صفر | | مقادیر تجربی با ضرایب SRK |
|----------------------------------|-------------------------------|--------|--------------|---|--------|------------------------------|
| سازنده | X_i | y_i | X_i | y_i | X_i | y_i |
| N ₂ | 0.0009 | 0.0074 | 0.0005 | 0.0072 | 0.0009 | 0.0074 |
| CO ₂ | 0.1006 | 0.0899 | 0.0572 | 0.0964 | 0.1018 | 0.0898 |
| C ₁ | 0.2357 | 0.7720 | 0.2077 | 0.7559 | 0.2263 | 0.7701 |
| C ₂ -C ₃ | 0.2311 | 0.1176 | 0.02235 | 0.1230 | 0.2318 | 0.1183 |
| C ₄ -C ₆ | 0.1841 | 0.0125 | 0.2010 | 0.0166 | 0.1828 | 0.0139 |
| C ₇ -C ₁₀ | 0.1441 | 0.0005 | | | | |
| C ₁₁ -C ₁₅ | 0.0600 | 0.0000 | | | | |
| C ₁₆ -C ₄₈ | 0.0434 | 0.0000 | | | | |
| C ₇₊ | 0.2475 | 0.0005 | 0.3101 | 0.0009 | 0.2564 | 0.0006 |

جدول (۵) مشخصات نمونه B مرجع ۱۷

| سازنده | دربندولی | T _c , K | P _c , atm | ω |
|----------------------------------|----------|--------------------|----------------------|-------|
| N ₂ | 0.0034 | 492.45 | 227.16 | 0.040 |
| CO ₂ | 0.0084 | 1070.16 | 547.56 | 0.225 |
| C ₁ | 0.4913 | 667.38 | 343.08 | 0.008 |
| C ₂ -C ₃ | 0.1076 | 661.50 | 608.76 | 0.126 |
| C ₄ -C ₆ | 0.0734 | 488.04 | 836.28 | 0.242 |
| C ₇ -C ₁₀ | 0.1969 | 371.91 | 1116.54 | 0.628 |
| C ₁₆ -C ₂₆ | 0.0780 | 219.03 | 1366.92 | 0.039 |
| C ₂₇ -C ₇₆ | 0.0410 | 144.06 | 1690.20 | 1.488 |

نمادهای یونانی

| | |
|--------------------------|--|
| ϵ_{con} | آستانه همگرایی در حل معادلات پایداری و تبخیر ناگهانی |
| ϵ_{stab} | آستانه پایداری در آزمون پایداری فاز |
| ϵ_{swt} | آستانه تغییر روش از جانشینی پیاپی به نیوتونی در حل معادله پایدار |

مراجع

- [1] Heidmann. R. A., "Three-Phase Equilibria Using Equations of State." *AICHE J.* (1974) 20, 5, 847.
- [2] Gautam. R. and Seider. W. D. "Computation of Phase and Chemical Equilibria." *AICHE J.* (1979) 25, 991 - 1015.
- [3] Soares. M. E. Meonia. A. G.. McDermott. C. and Ashton. N. "Three Phase Flash Calculations Using Free Energy Minimization," *Chem. Eng. Sci.* 1982, 37 (4). 521.
- [4] Fourinier, R. L., and Boston. J. F., " A Quasi-Newton Algorithm for Solving Multiphase Equilibrium Flash Problems, " *Chem. Eng. Symp. Ser.* 1972, 8 (4-6). 305.
- [5] Michelsen. J. L., "The Isothermal Flash Problem: Part I, Stability, " *Fluid Phase Equil.*, (1982) 9, 1-19.
- [6] Mehra, R. K., Heidmann. R. A., and Aziz K., "An Accelerated Successive Substitution Algorithm, " *Can. J. Chem. Eng.* (1983) 61, 590-596.
- [7] Shah, V. B., Development and Application of an E. O. S. Compositional Simulator. Ph. D. Thesis University of Toledo, Toledi, Ohio, 1980.
- [8] Nghiem, L. X., and Li, Y. K., "Computational of Multiphase Equilibrium Phenomena with an Equation of State, " *Fluid Phase Equil.*, (1984) 17, 77-95.
- [9] Trangenstein, J. A., "Customied Minimization Techniques for Phase Equilibrium Computations in Reservoir Simulation," *Chem. eng. Sci.* (1987) 42, No. 12, 2847-2863.
- [10] Wilson, G. M., "A Modified Redich-Kwong Equation of State - Application to General Physical Data Calculations," 65th National AICHE Meeting, Cleveland, OH, May 4-7, 1969.
- [11] Firoozabadi, A., "Reservoir-Fluid Phase Behavior and Volumetric Prediction with Equations of State, " *J.P.T* (April 1988) 397 - 406.
- [12] Katz, D. L., and Firoozabadi, A., "Predicting Phase Behavior of Condensate / Crude-Oil Systems Using Methane Interaction Coefficients," *J.P.T* (Nov. 1978) 1949-1955: *Trans., AIME*, 265.
- [13] Firoozabadi, A., Aziz, K., "Analysis and Correlation of Nitrogen and Lean Gas Miscibility," *SPERE* (Nov. 1986) 575-582.
- [14] Zudkevich, D., and Joffe, J, "Correlation and Prediction of Vapor-Liquid Equilibria with the Redich-Kwong Equation of State," *AICHE J.X* (May 1970) 496-498.
- [15] Coats, K. H., "An Equation of State Compositional Model, " *SPE J* (Oct. 1980) 363-376.
- [16] Reamer. H. H., Fiskin, J. M., and Sage, B. H., "Phase Equilibrium in Hydrocarbon System: Phase Behavior in The Methane-n-Butane-Decane Systems at 160° F," *Ind. & Eng. Chem.* (Dec. 1949) 41, 2871-2875.
- [17] Pedersen, K. S., Thomassen, P., and Fredenslund, A., "Thermodynamics of Petroleum Mixtures Containing Heavy Hydrocarbons 3. Efficient Flash Calculation Procedures Using the SRK Equation of State, " *Ind. & Eng. Chem. Process Res. Dev.* (1983) 24, No. 4, 948 - 954.
- [18] P. M. W. Cornelisse. C. J. Peters and J. De-

- swaan. Application of the Peng-Robinson E. O. S. to Calculate Interfacial Tension and Profiles at Vapor-Liquid Interface, *Fluid Phase Equil.* Vol. 82, 1993, 119-129.
- [19] Gupta, A. K., Bishnoi, P. R. and Kalogerakis , N., A Method for the Simultaneous Phase Equilibria and Stability Calculations for Multi-phase Reacting and Non-Reacting Systems, *Fluid Phase Equil.* vol. 63, 1991, 65-89.